



IRANIAN SOCIETY of
CRYSTALLOGRAPHY
and MINERALOGY

Vol. 17, No. 2, Summer 1388/2009

IRANIAN JOURNAL of
CRYSTALLOGRAPHY
and MINERALOGY

Determination of tectonomagmatic environment of volcanic and subvolcanic rocks in North of Shahrekord by amphiboles geothermobarometry

N. Emami¹, M. Khalili², M. Noghreyan²

1- Agricultural and Natural resources research center of Chaharmahal and Bakhtiary Province

2- Department of Geology, University of Isfahan

Email: emami1348@yahoo.com

(Received: 7/5/2008, in revised form: 21/1/2009)

Abstract: On the basis of geothermobarometric calculations, amphiboles in volcanic and subvolcanic rocks belong to Upper Jurassic volcanism of Sanandaj-sirjan zone in north of Shahrekord. Using Hamarstrom ,Schmidt, Johnson - Rutherford and Hollister methods, amphiboles have crystallized about 635 to 715 °c and 2.68 to 7.5 kbar at the depth about 17 to 25 km. The result of calculations has moderate accuracy. The lower FET/ (Fe_t + Mg) ratio in amphiboles is characteristic of calc-alkaline magma suites. Calculated temperatures, pressures and depths for amphiboles is coincide with a subduction tectonical environment. The maximum depth of crystallization of amphiboles is 25km and subduction angle is lower than 45 km on the basis of 35 km distance between this volcanic belt and main Zagros fault. Al^{IV} measures of amphiboles are higher than 1.5 that indicate an island arc suite.The presence of this old island arc had predicted in Zagros orogenic belt.

Keywords: Jurassic Volcanism, Sanandaj-sirjan zone, Tectonomagmatic, Geothermobarometry, Amphibole.



تعیین محیط تکتونوماگمایی سنگ‌های آتشفسانی و نیمه عمیق شمال شهرکرد با استفاده از گرما- فشارسنجد (Geothermobarometry) آمفیبول‌ها

سید نعیم امامی^۱، محمود خلیلی^۲، موسی نقره‌ئیان^۲

۱- مرکز تحقیقات کشاورزی و منابع طبیعی استان چهارمحال و بختیاری

۲- دانشگاه اصفهان، دانشکده علوم، گروه زمین‌شناسی

پست الکترونیکی: emami1348@yahoo.com

(دریافت مقاله: ۸۷/۲/۱۸ ، نسخه نهایی: ۸۷/۱۱/۲)

چکیده: بر اساس نتایج حاصل از گرما- فشارسنجد (Geothermobarometry) آمفیبول‌های موجود در سنگ‌های آتشفسانی و نیمه عمیق حاصل از آتشفسانی ژوراسیک فوکانی در بخش مرکزی زون سنندج - سیرجان، واقع در شمال شهرکرد به روش‌های هاماراستروم، اشمیت، جانسون - رادرفورد و هالیستر، این کانی‌ها در دماهایی بین ۶۳۵ تا ۷۱۵ درجه سانتیگراد و فشارهای ۳/۵۲ تا ۷/۵ کیلوبار و معادل ۲۰ تا ۲۵ کیلومتر عمق تشکیل شده‌اند. نتایج محاسبات به دست آمده در تعیین فشار حاکم بر تشکیل آمفیبول‌ها از دقت متوسطی برخوردار بوده‌اند. پائین بودن میزان $\text{Fe}_t/(\text{Fe}_t + \text{Mg})$ در آمفیبول‌های یاد شده و به طور کلی پائین بودن نرخ افزایش پارامتر مورد نظر از ویژگی‌های بارز مجموعه‌های ماغمایی آهکی - قلیایی است. دما، فشار و عمق به دست آمده برای آمفیبول‌های مورد بررسی که غالباً هستنگریت تا مینیزیو هستنگریت‌اند، با شرایط پایداری هورنبلند سبز سازگار بوده و موید شکل‌گیری این گروه از آمفیبول‌ها در یک زون فرورانش همراه با ماغماتیسم آهکی - قلیایی است، به طوری که عمق بیشینه‌ی تشکیل آمفیبول‌ها روی قطعه‌ی فرورانده، ۲۵ کیلومتر و با توجه به فاصله‌ی مجموعه سنگ‌های آتشفسانی و نیمه عمیق در بردارنده این کانی‌ها تا گسل زاگرس که حدود ۳۵ کیلومتر است، زاویه‌ی فرورانش کمتر از ۴۵ درجه ارزیابی می‌شود. با توجه به مقادیر $1/5 < \text{Al}^{IV} < 1/5$ در آمفیبول‌های مورد بررسی، سنگ‌های حامل این کانی‌ها در قلمرو جزائر قوسی قرار می‌گیرند. این مجموعه سنگ‌های آذرین یکی از جزایر قوسی ژوراسیک مورد انتظار و گمنامی است که در کمربند کوهزاد زاگرس حضور آن پیش‌بینی شده است.

واژه‌های کلیدی: آتشفسانی ژوراسیک، زون سنندج - سیرجان، تکتونوماگمایی، گرما- فشارسنجد، آمفیبول.

به صورت نواری با طول حدود ۵۰ و پهنای تقریبی ۴ تا ۲/۵ کیلومتر و مساحت کلی بالغ بر ۲۰۰ کیلومتر مربع به صورت شکاف فرو افتاده‌ای است که از شمال باختری استان چهارمحال و بختیاری (ناحیه فریدون شهر) آغاز و پس از عبور از شمال سامان (پل زمانخان) به ارتفاعات پیر شمع الدین در شمال تا شمال باختری کلیشاد رخ در استان اصفهان، بین مختصات ۱۰° و ۴۰° و ۵۰° تا ۱۱° و ۰۶° و ۵۱° طول شرقی و ۴۴° و ۲۵° و ۳۲° تا ۳۹° و ۵۱° عرض شمالی محدود می‌شود (شکل ۱). در جریان بررسی‌های دامنه داری که بر روی این مجموعه سنگ‌های آتشفسانی و نیمه عمیق همراه صورت

مقدمه

پتروزنز و جایگاه تکتونوماگمایی سنگ‌های آتشفسانی و توده‌های نیمه عمیق (استوکها و دایک‌های) وابسته به ژوراسیک در پهنه‌ی زمین‌ساختی سنندج - سیرجان از نکات ناشناخته در رویدادهای زمین‌ساختی به ویژه سنگ‌شناسی کشور محسوب می‌شود که پرداختن دقیق و سیستماتیک به آن از جایگاه علمی ارزشمندی برخوردار است.

کمربند سنگ‌های آذرین به سین ژوراسیک میانی تا فوکانی که به سبب فراوانی سنگ‌های آتشفسانی از این پس تحت عنوان سنگ‌های آتشفسانی شمال شهرکرد از آن‌ها یاد می‌شود،

اکلاهمای آمریکا بهوسیله یک دستگاه (Cameca, SX-50) صورت پذیرفت. بر اساس نتایج این بررسی‌ها، پس از رده‌بندی نام گذاری این کانی‌ها [۲]، محاسبات دما و فشار بر اساس روش‌های تجربی و پیشنهادی توسط هاماراستروم [۳]، اشمیت [۴]، جانسون-رادرفورد [۵] و هالیستر [۶] انجام گرفت.

بحث و بررسی

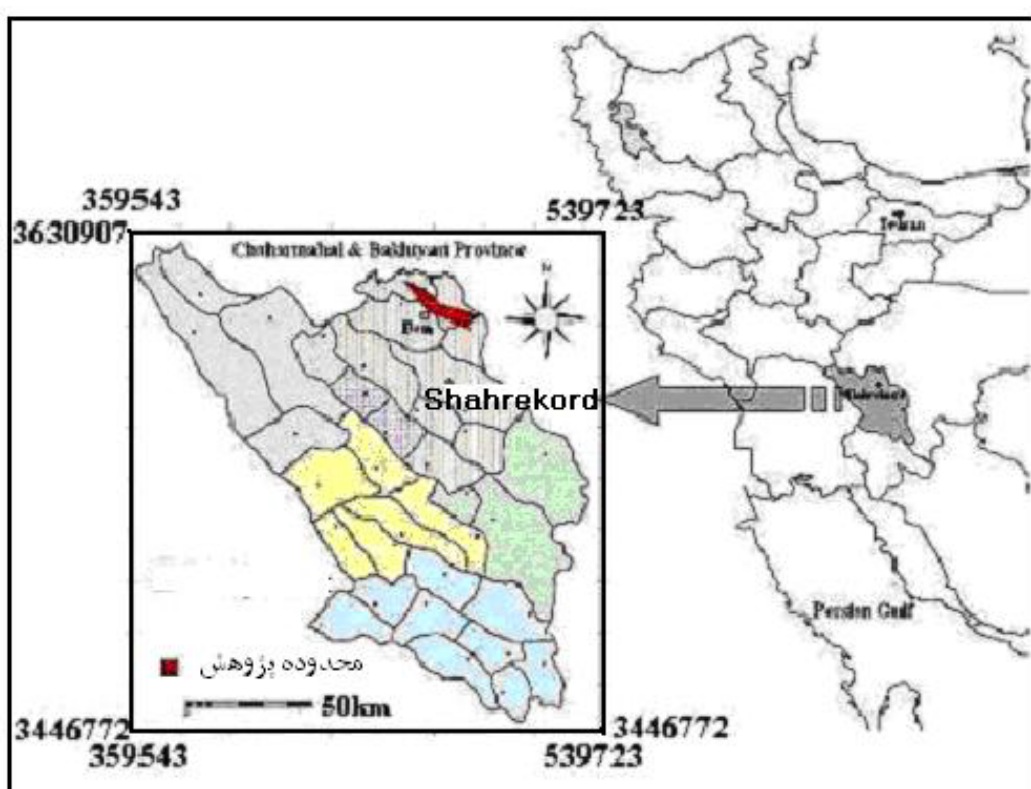
در منطقه‌ی مورد بررسی، سنگ‌های آذرین بیشتر شامل بازالت و حجم‌های کمتری از آندزیت، آندزیت بازالتی همراه با توده‌های نیمه عمیق دولریتی و میکرودیوریتی به شکل دایک و استوک وجود دارند.

هورنبلند یکی از کانی‌های نوعی سنگ‌های آتشفشارانی، توده‌های نفوذی و نیمه عمیق آهکی- قلایی است [۴]. نتایج حاصل از ریز پردازندۀ الکترونی (جدول ۱) بر روی آمفیبول‌های موجود در نمونه سنگ‌های آتشفشارانی با بافت پورفیری و ترکیب آندزیتی و نیمه عمیق با بافت میکرولیتی و ترکیب دیوریتی و دولریتی مؤید آن است که علیرغم تفاوت‌های موجود در مقاطع میکروسکوبی از جمله تفاوت در رنگ، هوازدگی، هایت و فرم کانی‌ها، همه‌ی آن‌ها کلسیم دارند (شکل‌های ۲ و ۳).

پذیرفت، ابعاد مختلف زمین‌شناختی منطقه شامل سنگ-شناختی، پتروژنز و سن نگاری این سنگ‌ها مورد بررسی دقیق قرار گرفت [۱]. در این مقاله با توجه به نتایج آنالیز ریز پردازندۀ الکترونی (EMPA) روی آمفیبول‌های موجود در سنگ‌های آتشفشارانی آندزیتی و سنگ‌های نیمه عمیق دیوریتی و دولریتی منطقه، ضمن محاسبه فشار و دما تشكیل این سنگ‌ها، جایگاه تکتونوماگمایی آن‌ها نیز با استفاده از نمودارهای تجربی تعیین شده‌اند.

روش مطالعه

در راستای این کار پژوهشی، پس از جدایش واحدهای سنگ-شناسی در تصاویر هوایی و ماهواره‌ای و تهیه نقشه زمین-شناسی، نخست ۲۰۰ مقطع نازک از سنگ‌های آتشفشارانی و نیمه عمیق تهیه شده و با میکروسکوپ قطبشی (OlympusBH2) مورد بررسی دقیق کانی‌شناسی قرار گرفتند. سپس با انتخاب چند مقطع مناسب با کمترین آثار دگرسانی در سطح کانی‌ها، بین تعداد محدودی از مقاطع دارای کانی آمفیبول، با استفاده از ریز پردازندۀ الکترونی (EMPA) روی آمفیبول‌های موجود در سنگ‌های نیمه عمیق و آتشفشارانی بررسی‌های لازم انجام گرفت. این آنالیزها در دانشگاه نورمن



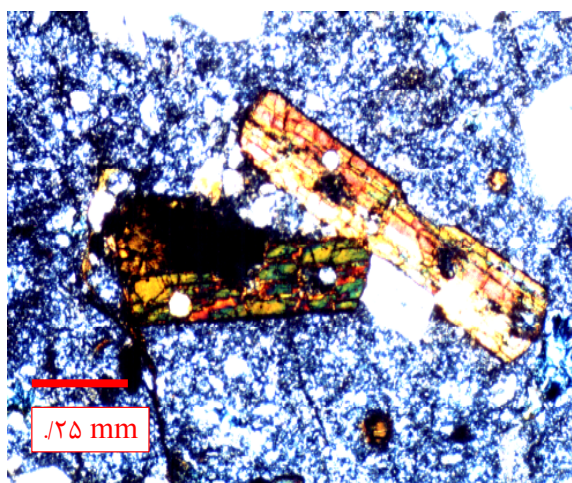
شکل ۱ موقعیت جغرافیایی منطقه مورد مطالعه.

جدول ۱ نتایج آنالیز الکترون مایکروپرورب آمفیبول‌های منتخب شمال شهرکرد.

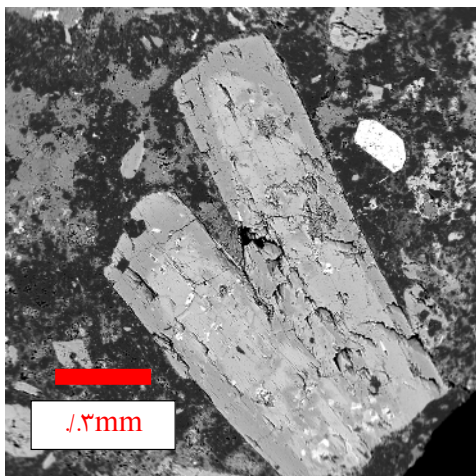
نمونه	۲۶-۳			۷۴-۱			۷۴-۲			۳۰-۶ میانگین دیبوریت
	میانگین هسته	میانگین حاشیه	آندزیت بازالتی	میانگین هسته	میانگین حاشیه	آندزیت	میانگین هسته	میانگین حاشیه	آندزیت	
نوع سنگ	آندزیت									
SiO ₂	۴۲,۱۱	۴۲,۱۶	۴۲,۱۳۵	۴۴,۳۴	۴۲,۲۴	۴۳,۲۹	۴۵,۹۱	۴۲,۹۴	۴۲,۴۲	۴۲,۹
TiO ₂	۲,۴۶	۲,۴۲	۲,۴۴	۱,۷۲	۲,۰۲	۱,۸۷	۱,۱۴	۱,۹۵	۱,۰۴۵	۲,۲۳
Al ₂ O ₃	۱۲,۵۳	۱۲,۱۷	۱۲,۳۵	۹,۲۱	۱۲,۱۲	۱۰,۶۶	۸,۷۷	۱۱,۱۴	۹,۷۵۵	۱۱,۳۰
FeO ⁺	۱۱,۷۴	۱۲,۱۵	۱۱,۹۴	۱۶,۹۰	۱۲,۹۳	۱۴,۹۱	۱۶,۸۱	۱۵,۰۳	۱۵,۹۲	۱۲,۴۹
MgO	۱۴,۱۱	۱۳,۸۹	۱۴	۱۱,۴۳	۱۳,۲۱	۱۲,۳۲	۱۲,۱۹	۱۲,۷۰	۱۲,۴۴	۱۳,۶۴
MnO	,۱۶	,۱۴	,۱۶۵	,۰۶۲	,۰۲۲	,۰۴۲	,۰۶۷	,۰۳۱	,۰۳۵	,۰۲۳
CaO	۱۱,۴۱	۱۱,۴۰	۱۱,۴۰	۱۰,۷۴	۱۱,۳۲	۱۱,۰۳	۱۰,۴۷	۱۰,۹۶	۱۰,۷۱	۱۱,۳
Na ₂ O	۲,۱۵	۱,۹۱	۲,۰۳	۱,۴۸	۱,۹۴	۱,۷۱	۱,۴۴	۱,۷۸	۱,۶۱	۱,۸۸
K ₂ O	,۰۹۹	,۰۹۹	,۰۹۹	,۰۸۵	,۰۹۳	,۰۸۹	,۰۵۹	,۰۸۴	,۰۷۱۵	,۰۸۶
F	,۰۱۶	,۰۲۵	,۰۲۰۵	,۰۱۲	,۰۰۱	,۰,۶۵	,۰,۱۲	,۰,۱۳	,۰,۱۲۵	,۰,۰۶
Cl	,۰۰۳	,۰۰۳	,۰,۹۳	,۰,۱۳	,۰,۰۳	,۰,۰۸	,۰,۱۲	,۰,۱۶	,۰,۰۹	,۰,۰۴
H ₂ O	۲,۱۵	۲,۴۶	۲,۳۰	۲,۴۶	۲,۰۳	۲,۷۴۵	۲,۱۷	۲,۳۶	۰,۹۰۶	۳,۰۷
Sum	۱۰۰	۱۰۰	۱۰۰	۱۰۰	۱۰۰	۱۰۰	۱۰۰	۱۰۰	۱۰۰	۱۰۰

محاسبه کاتیون‌ها براساس ۲۳ اکسیژن صورت گرفته و تمام آهن بصورت FeO می‌باشد.

	۶,۱۵۰	۶,۱۸۲	۶,۱۶۶	۶,۶۰۴	۶,۲۳۶	۶,۴۲	۶,۷۵۸	۶,۳۱۳	۶,۰۳۵	۶,۳۲
Al ^{IV}	۱,۸۵	۱,۸۱۸	۱,۸۳۴	۱,۳۹۶	۱,۷۶۴	۱,۵۸	۱,۴۲۴	۱,۶۸۷	۱,۴۶۴	۱,۶۸
(Sum) T (site)	۸	۸	۸	۸	۸	۸	۸	۸	۸	۸
Al ^{IV}	,۰۳۰۵	,۰۲۸۴	,۰۲۹۴	,۰۲۲	,۰۳۴۳	,۰۲۸۱	,۰۲۱۰	,۰۲۴۲	,۰۲۲۶	,۰۲۸۷
Fe ²⁺	,۰۹۰۳	,۰۹۰۸	,۰۹۰۵	۱,۰۰۶	۱,۰۴۷	۱,۲۷۶	۱,۳۲۱	۱,۱۰۱	۱,۲۱۱	۱,۰۰۴
Mg	۳,۰۷۲	۳,۰۳۶	۳,۰۵۴	۲,۵۳۸	۲,۹۰۷	۲,۷۲۲	۲,۶۷۵	۲,۷۸۴	۲,۷۲۹	۲,۹۹۷
Fe ³⁺	,۰۴۴	,۰۴۹۵	,۰۴۶۷	,۰۵۰۵	,۰۴۶۵	,۰۴۸۵	,۰۶۲۷	,۰۶۲۸	,۰۶۳۲	,۰۴۴۲
Ti	,۰۲۷	,۰۲۶۷	,۰۲۶۸	,۰,۱۹۳	,۰,۲۲۴	,۰,۲۰۸	,۰,۱۲۶	,۰,۲۱۶	,۰,۱۸۸	,۰,۲۴۷
Mn	,۰,۱۰	,۰,۰۱۰	,۰,۰۱۰	,۰,۰۳۹	,۰,۰۱۴	,۰,۰۲۶	,۰,۰۴۱	,۰,۰۱۹	,۰,۰۳	,۰,۱۴۷
(Sum) M1,M2,M3	۵	۵	۵	۵	۵	۵	۵	۵	۵	۵
Mn	,۰,۱۰	,۰,۰۱۱	,۰,۰۲۱	,۰,۰۴۰	,۰,۰۱۴	,۰,۰۲۷	,۰,۰۴۲	,۰,۰۱۹	,۰,۰۳۰	,۰,۰۱۴
Fe ²⁺	,۰,۰۹۱	,۰,۰۸۴	,۰,۰۸۹	,۰,۰۹۵	,۰,۰۸۴	,۰,۰۸۹	,۰,۱۲۲	,۰,۱۰۹	,۰,۱۱۵	,۰,۰۸۶
Mg	,۰,۰۰	,۰,۰۰	,۰,۰۰	,۰,۰۰	,۰,۰۰	,۰,۰۰	,۰,۰۰	,۰,۰۰	,۰,۰۰	,۰,۰۰
Ca	۱,۴۸۵	۱,۷۹۱	۱,۷۸۸	۱,۷۱۴	۱,۷۹۰	۱,۷۵۲	۱,۶۵۱	۱,۷۲۷	۱,۶۸۹	۱,۷۸
Na	,۰,۱۱۴	,۰,۱۱۱	,۰,۱۱۲	,۰,۱۰۲	,۰,۱۱۱	,۰,۱۲۱	,۰,۱۸۵	,۰,۱۴۵	,۰,۱۶۵	,۰,۱۱۵
(Sum) M4	۲	۲	۲	۲	۲	۲	۲	۲	۲	۲
Ca	,۰,۰۰	,۰,۰۰	,۰,۰۰	,۰,۰۰	,۰,۰۰	,۰,۰۰	,۰,۰۰	,۰,۰۰	,۰,۰۰	,۰,۰۰
Na	,۰,۴۹۵	,۰,۴۳۲	,۰,۴۶۳	,۰,۲۷۶	,۰,۴۴۴	,۰,۳۶	,۰,۲۲۶	,۰,۳۶۲	,۰,۲۹۴	,۰,۴۲۱
K	,۰,۱۸۴	,۰,۱۸۵	,۰,۱۸۵	,۰,۱۶۲	,۰,۱۷۵	,۰,۱۶۸	,۰,۱۱۱	,۰,۱۵۸	,۰,۱۳۴	,۰,۱۱۰
Asite	,۰,۶۷۹	,۰,۶۱۷	,۰,۶۴۸	,۰,۴۳۸	,۰,۶۱۹	,۰,۵۲۸	,۰,۳۳۷	,۰,۵۲۰	,۰,۴۲۸	,۰,۵۳۱
جمع کاتیونها	۱۵,۶۷۹	۱۵,۶۱	۱۵,۶۴۸	۱۵,۴۳۸	۱۵,۶۲	۱۵,۵۲۸	۱۵,۳۳۷	۱۵,۵۲	۱۵,۴۲۸	۱۵,۵۳
Al _{total}	۲,۱۵۵	۲,۱۰۲	۲,۱۲۸	۱,۶۱	۲,۱۰۷	۱,۸۵۳	۱,۶۵۲	۱,۹۲۹	۱,۶۹۰	۱,۹۶۷
Fe _t (Fe _t +Mg)	,۰,۳۱۸	,۰,۳۲۹	,۰,۳۲۳	,۰,۴۵۳	,۰,۳۵۴	,۰,۴۰۳	,۰,۴۳۶	,۰,۳۹۸	,۰,۴۱۷	,۰,۳۳۸



شکل ۲ درشت بلورهای هورنبلند منیزیو-هستنگزیتی در زمینه کوارتر-فلدسباتی در هورنبلند آندزیت $\times 40$ XPL.

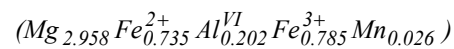
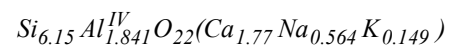


شکل ۳ تصویر الکترون مایکروپرورب از یک هورنبلند منیزیو-هستنگزیتی در هورنبلند آندزیت.

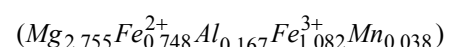
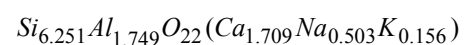
کل آمفیبول‌های کلسیم‌دار و معرف عمق جایگزینی پلوتون‌ها و توده‌های نیمه عمیق است [۳، ۷].

با توجه به این که بیشتر سنگ‌های رخمنون یافته در منطقه، سنگ‌های آتشفشانی گنبدهای شکل بوده که با توده‌های نیمه عمیق (استوک و دایک) همراهی می‌شوند، در این کار پژوهشی از روش‌های تجربی هاماراستروم، اشمیت، جانسون - رادرفورد و هالیستر برای تعیین فشار و دمای حاکم بر این سنگ‌ها استفاده شد. در این میان روش اختصاصی در مورد سنگ‌های آتشفشانی و نیمه عمیق، روش جانسن- رادرفورد بوده که نتایج آن به عنوان روش اصلی با سایر روش‌های مورد

فرمول‌های محاسبه شده‌ی این کانی‌ها به شرح زیرند (شکل ۴).
هورنبلند منیزیو- هستنگزیتی (در آندزیت‌ها)

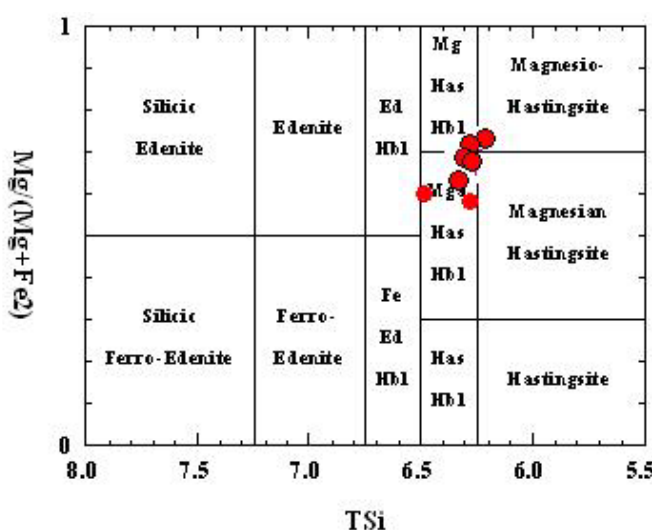


هورنبلند هستنگزیتی منیزیم‌دار (در دایک‌های دیوریتی)



تجارب و آزمایش‌های صورت گرفته روی آمفیبول‌ها نشان می‌دهد که ترکیب این کانی‌ها به شیمی سنگ کل، فشار، دما و فشار جزیی (فوگاسیته) اکسیژن بستگی دارد (جدول ۲). فشار یک عامل غالب و مؤثر بر اختلافات بارز در محتوای آلومینیم

اشاره مقایسه و در مورد امکان به کارگیری آن‌ها در سنگ‌های آتشفشنانی و نیمه عمیق قضاوت خواهد شد.



شکل ۴ نمایش موقعیت بلورهای آمفیبول آنالیز شده بر روی نمودار طبقه بندی آمفیبول های کلسیک.

جدول ۲ مثال هایی از وابستگی ترکیبی آمفیبول ها به حرارت (T)، فشار (P) فوگاسیته اکسیژن O_2 و ترکیب کل (+ افزایش، - کاهش، خالی: بی اثر)

عنصر	موقعیت	Mg / (Mg + Fe ²⁺)	حرارت (T)	فشار (P)	فوگاسیته اکسیژن O_2	منابع
Si						[۲]، [۷]
Al ^{IV}				+		[۹]، [۸]
Al ^{VI}			-	+		[۱۱]، [۱۰]، [۸]، [۱]
Ti			+	-		[۱]، [۱۰]، [۹]
Mn			-			[۲]
$Fe^{3+} / (Fe^{3+} + Fe^{2+})$						[۱۳]
$Mg / (Mg + Fe^{2+})$			+	+		[۲]، [۸]
A				+		[۹]
قلیابی ها						[نقل از ۱]
آلومینیم کل				+		[نقل از ۱]

سنگ های مورد آزمایش شامل کانی شناسی نوعی ماقمایی مثل پلازیوکلاز، هورنبلند، بیوتیت، فلدسپات پاتاسیک، کوارتز، اسفن، مگنتیت یا ایلمنیت \pm اپیدوت بودند که احتمالاً در دماهای مشابه متبلور شده اند. آمفیبول های آهکی فشار بالا (دارای اپیدوت ماقمایی) با Al^T بالا بوده که مستقل از ترکیب کل است. گرچه Al^{IV} وابسته به دماست ولی به تنها ی نمی تواند مسئول تفاوت های مشاهده شده در Al^T بین ترکیب های فشار پائین و فشار بالا باشد [۷].

بر اساس محاسبات انجام شده در نمونه های سنگ دولریتی (نمونه ۲۶-۳) میانگین فشار بدست آمده هسته $3 \pm 6/919$ و

فشار سنجی براساس آلومینیم در هورنبلند

- روش هاماراستروم وزن [۳]

هماراستروم و زن با آنالیز هورنبلندهای پنج مجموعه ای آهکی- قلیابی به عنوان معرف رژیم های فشار پائین و بالا با استفاده از یک ریز پردازندۀ الکترونی، یک رابطه خطی بین آلومینیم کل (Al^T) و محتوای آلومینیم با همارایی $4(Al^{IV})$ با ۲۳ اکسیژن به شرح زیر برقرار کردند: [۳]

$$Al^{IV} = 0.15 + 0.69 Al^T \quad (r^2 = 0.97)$$

$$P (\pm 3 \text{ kbar}) = -3.92 + 5.03 Al^T \quad (r^2 = 0.8)$$

دیوریتی، میانگین فشار تشکیل هورنبلند $6/352 \pm 0/6$ کیلوبار بوده است.

- روش جانسن - رادرفورد [۵]

این پژوهشگران یک فشار سنج تجربی را بر اساس محتوای آلومینیم هورنبلندهای آذرین در تعادل با مذاب، شاره، بیوتیت، کوارتز، سانیدین، پلاژیوکلاز، اسفن و مگنتیت یا ایلمنیت به صورت آزمایشگاهی همسنجی کردند. عمل همسنجی به واسطه تعادل انبوه فازهای یاد شده در گستره‌ی فشار ۲ تا ۸ کیلوبار و در $780 - 740$ درجه سانتیگراد صورت پذیرفت [۵]. آزمایش روی هورنبلندهای شکل‌دار سنگ‌های آتشفشنانی که در تعادل با زمینه‌ی شیشه‌ای و کوارتز فلدسپاتی (مذاب) بودند انجام شد.

معادله‌ی پیشنهادی در این روش به صورت زیر است:

$$P(\pm 0.5\text{kbar}) = 3.46 + 4.23\text{Al}^T \quad (r^2 = 0.99)$$

این روش به طور مشخص در مورد سنگ‌های آتشفشنانی با بافت پورفیری با یک فاز فنوکریست به کار گرفته شده، بر ریزپردازش روی فنوکریستهای در تعادل با زمینه، تاکید دارد و از این دیدگاه در فشارسنجی سنگ‌های آتشفشنانی منحصر به فرد است.

بر اساس محاسبات انجام شده مبتنی بر رابطه‌ی بالا، فشار تشکیل هورنبلند در سنگ‌های دولریتی از $0/5 \pm 5/65$ کیلوبار در هسته تا $0/5 \pm 5/43$ کیلوبار در حاشیه با میانگین $0/5 \pm 5/54$ کیلوبار متغیر است. در سنگ‌های آندزیتی، فشار تشکیل هورنبلند در هسته $0/5 \pm 3/35$ در حاشیه $0/5 \pm 5/45$ و با میانگین $4/399$ کیلوبار است. در مورد سنگ‌های نیمه عمیق دیوریتی نیز میانگین فشار محاسبه شده معادل $0/5 \pm 4/86$ کیلوبار به دست آمد.

چنان‌که مشاهده می‌شود ارقام به دست آمده برای فشار تشکیل هورنبلند در این روش کمتر از روش‌های دیگر است. با توجه به این‌که این روش به طور اختصاصی برای سنگ‌های آتشفشنانی موزائیکی توصیه شده و به لحاظ این که سنگ‌های آندزیتی مورد بررسی تنها دارای یک فاز کانیایی به شکل فنوکریست در زمینه‌ی فلزیکاند (شکل‌های ۲ و ۳)، نتایج به دست آمده در این شیوه برای سنگ‌های آتشفشنانی آندزیتی قابل اطمینان‌تر است.

- روش هالیستر و همکاران [۶]

در این روش با مینا قرار دادن رابطه‌ی ارائه شده توسط هاما راستروم، با هدف کاهش خطای این روش و تعیین شرایط

حاشیه $3, 6/65 \pm 6/65$ کیلوبار، در سنگ آتشفشنانی آندزیتی (نمونه ۷۴-۱) میانگین فشار محاسبه شده برای هسته هورنبلند $3, 6/44 \pm 5/56$ کیلوبار و برای حاشیه $3, 6/25 \pm 5/78$ کیلوبار است. میانگین فشار برای کل کانی در این نمونه معادل $3, 6/25$ کیلوبار است. در یک هورنبلند دیگر (۷۴-۲) در همین سنگ میانگین فشار هسته $3, 6/25 \pm 3$ کیلوبار در حاشیه $3, 6/78$ کیلوبار است که متفاوت از کانی قبلی است. در سنگ نیمه عمیق (با ترکیبی دیوریتی) (۳۰-۶) میانگین فشار محاسبه شده برای هورنبلند $6/56$ کیلوبار بوده که نزدیک به مقادیر بالاتر بودن فشار حاشیه نسبت به هسته‌ی برخی از آمفیبولهای موجود در سنگ‌های آتشفشنانی را می‌توان به سرعت زیاد فوران پس از تبلور این کانی‌ها در زیر سطح زمین و عدم وجود فرست مناسب برای ایجاد تعادل بین هسته و حاشیه در نظر گرفت [۵، ۸ و ۹]. بدین ترتیب، این سنگ در فشار کم تا متوسط متبولور شده است.

- روش اشمیت [۴]

در این روش، فشارسنج آلومینیم در هورنبلند که مبتنی بر رابطه‌ی خطی بین Al^T هورنبلند ماقمایی با فشار تبلور در توده‌های نفوذی و آتشفشنانی کم عمق است، به طور تجربی در شرایط اشباع از آب و در فشارهای ۲/۵ تا ۱۳ کیلوبار و دماهای $700 - 855$ درجه سانتیگراد همسنجی شده است. در جریان ایجاد تعادل بین مجموعه هورنبلند - بیوتیت - پلاژیوکلاز - ارتوکلاز - کوارتز - اسفن و اکسید آهن - تیتان مذاب - بخار در یک حالت طبیعی در دمای معادل ۱۵ تا ۲۰ درجه سانتیگراد بالاتر از خط انجمامد، ترکیب و محتوای آلومینیوم کل (Al^T) هورنبلند دستخوش تغییر می‌شود [۴، ۱۰]. معادله‌ی این تغییرات عبارت است از [۴]:

$$P(\pm 0.6\text{kbar}) = -3.01 + 4.76\text{Al}_{Hlb}^{Total} \quad (r^2 = 0.99)$$

محاسبات انجام شده بر اساس معادله‌ی فشارسنجی اشمیت بیانگر آن است که در سنگ‌های دولریتی فشار در هسته هورنبلندها $0/6 \pm 7/247$ در حاشیه $0/6 \pm 6/995$ و با میانگین $0/6 \pm 7/119$ کیلوبار است. در سنگ‌های آندزیتی فشار در هسته از $0/6 \pm 3/901$ تا $0/6 \pm 4/65$ در حاشیه از $0/6 \pm 6/172$ تا $0/6 \pm 7/019$ و با میانگین $0/6 \pm 5/034$ کیلوبار محاسبه شد. در سنگ‌های نیمه عمیق با ترکیب

$$P(\pm 1\text{kbar}) = -4.76 + 5.64Al^T \quad (r^2 = 0.97)$$

چنان‌که مشاهده می‌شود در این روش خطای محاسبه به ± 1 کیلوبار تقلیل یافته است.

بر اساس محاسبات انجام شده به روش هالیستر، در سنگ‌های دولریتی فشار محاسبه شده در حاشیه 1 ± 0.9 بوده است که نزدیک به مقادیر محاسبه شده به روش هاماراستروم است. در سنگ‌های آندزیتی فشار در حاشیه از $7/123 \pm 1$ تا $1 \pm 6/119$ کیلوبار در تغییر است. در سنگ‌های نیمه عمیق با ترکیب دیوریتی نیز میانگین فشار تعیین شده برای تشکیل هورنبلند برابر با $6/333 \pm 1$ کیلوبار محاسبه شد. چنان‌که انتظار می‌رود فشار تشکیل هورنبلند در سنگ‌های آتشفسانی با بافت پورفیری و خاستگاه نسبتاً عمیق، بالاتر از سنگ‌های نیمه عمیق با ترکیب مشابه (حدواسط و بازیک) است.

با توجه به این که هالیستر و همکاران (۱۹۸۷) اندازه‌ی فشار در حاشیه‌ی هورنبلند را نزدیک به واقعیت می‌دانند، می‌توان فشار تشکیل هورنبلند را در سنگ‌های دولریتی $1 \pm 7/0.9$ در سنگ‌های دیوریتی $1 \pm 6/333$ و در سنگ‌های آندزیتی $1 \pm 7/12$ تا $1 \pm 6/11$ کیلوبار به دست آوردنده که اختلاف قابل ملاحظه‌ای با یکدیگر ندارند و می‌تواند مؤید خاستگاه مشترک هورنبلندها در سه نوع سنگ یاد شده باشد.

در جدول ۳ نتیجه‌ی زمین دما- فشار سنجی به روش‌های مختلف پیش گفته درج شده است.

مناسب به کارگیری این فرمول، با آنالیز و میانگین‌گیری از ترکیب‌های حاشیه (صرفًا حاشیه) هورنبلند از توده‌هایی که فشار آن‌ها فقط براساس سنگ‌های دگرگون میزان تعیین شده بود، معادله‌ی جدیدی ارائه شد [۶، ۱۰ و ۱۱]. آن‌ها معتقد بودند که در گستره‌ای از فشار بین ۲ تا ۸ کیلوبار، محتوای Al متوسط هورنبلند در حاشیه با فشار رابطه خطی دارد. داده‌های این پژوهش آن رابطه‌ی خطی را برای فشارهای متوسط (۴ تا ۶ کیلوبار) تأیید می‌کند. با افزایش داده‌های مناطق با فشار متوسط، خطای تعیین فشار بر اساس محتوای آلومینیم در هورنبلند، از 3 ± 1 کیلوبار (روش هاماراستروم و زن، ۱۹۸۶) به 1 ± 1 کیلوبار کاهش می‌یابد. فرض اول آن است که توده‌های نفوذی کم عمق و نیمه عمیق آهکی- قلیایی در خلال انجام و سرد شدن، محدودیت‌های ترمودینامیکی قابل ملاحظه‌ای نداشته‌اند به طوری که محتوای کل هورنبلند از بدو تولد تابعی از فشار بوده است. فرض دوم آن است که در زیر فشار ۲ کیلوبار دما بر محتوای Al^T اثر گذارده و در بالاتر از آن بی تأثیر است. همچنین فشار سنجی باید صرفًا روی حاشیه هورنبلندها صورت گیرد زیرا این بخش‌ها در تعادل با فازهای زمینه‌ی سنگ و نیز شیشه و کانی‌های ریز زمینه است.

بدین ترتیب معادله‌ی جدیدی برای تعیین فشار تبلور هورنبلند و در نهایت فشار تشکیل سنگ‌های دارای هورنبلند به شرح زیر ارائه شد [۶] :

جدول ۳ نتایج محاسبه فشار تشکیل هورنبلندهای منطقه براساس محتوای آلومینیم کل به روش‌های مختلف.

توصیف سنگ‌های حامل کانی	روش جانسن- kbar رادرفورد ± 0.5	روش اشمیت kbar ± 0.6	روش هالیستر ± 0.1 kbar	روش هاماراستروم ± 0.3 kbar	Al _{Total}	شماره نمونه
۲۶-۳	۵,۶۵۵	۷,۲۴۷	۷,۰۹۵	۷,۵۰	۲,۱۵۵	هسته
	۵,۴۳۰	۶,۹۹۵	۷,۰۹۵	۷,۲۲	۲,۱۰۲	HASHIYE
	۵,۵۴۰	۷,۱۱۹	۷,۲۴۱	۷,۳۵۸	۲,۱۲۸	میانگین
۷۴-۱	۳,۳۵	۴,۶۵	۴,۲۶۴	۴,۶۱۳	۱,۶۱	هسته
	۵,۱۴۵	۷,۰۱۹	۷,۱۲۳	۷,۲۴۰	۲,۱۰۷	HASHIYE
	۴,۳۹۹	۵,۸۳۴	۵,۷۱۹	۵,۹۲	۱,۸۵۸	میانگین
۷۴-۲	۳,۵۲	۳,۹۰۱	۳,۴۲۹	۳,۷۷	۱,۴۵۲	هسته
	۴,۷۹۹	۶,۱۷۲	۶,۱۱۹	۶,۳۰	۱,۹۲۹	HASHIYE
	۳,۶۸۸	۵,۰۳۴	۴,۷۷	۵,۰۳۷	۱,۶۹۰	میانگین
سنگ نیمه عمیق دیوریتی بلورهای آئوهدرال تا ساب هدرال هورنبلند سبز همراه بالات‌های پلازیوکلاز آلبیتی شده	۴,۸۶	۶,۳۵۲	۶,۳۳۲	۶,۵۰	۱,۹۶۷	میانگین

است که شرط دوم در تمام نتایج فراهم است. بر این اساس و با توجه به این که دو شرط یاد شده همارزاند، نتایج حاصل از دقت متوسطی برخوردارند. پائین بودن میزان $(Fet + Mg)$ در آمفیبیول‌های شمال شهرکرد و به طور کلی پائین بودن نرخ افزایش پارامتر بالا، ویژگی بارز مجموعه‌های ماغمایی آهکی-قلیایی است [۱۴، ۱۵].

- تعیین دمای تشکیل آمفیبیول‌ها براساس محتوای تیتانیم حلالیت تیتانیم در کانی‌های سیلیکاتی به ویژه آمفیبیول‌ها، میکاها و پیروکسن‌ها تابع دماست [۱۶، ۱۷]. در شکل ۵ گسترهای دما تشکیل آمفیبیول‌های منطقه مورد مطالعه بر روی نمودار دما- Ti ارائه شده است.

نتایج حاصل از پیاده کردن مقادیر Ti (درصد) آمفیبیول‌های منطقه روی راس نمودار نشانگر آن است که دمای تشکیل آمفیبیول‌ها در سنگ‌های نیمه عمیق دولریتی ۶۹۰ درجه ۷۱۵ (هسته) درجه سانتیگراد و در سنگ‌های آندزیتی و دیوریتی ۶۳۵ درجه سانتیگراد در هسته تا ۶۹۰ درجه سانتیگراد در حاشیه است. بدین ترتیب آمفیبیول‌ها در دمایی بین ۶۳۵ تا ۷۱۵ درجه سانتیگراد متبلور شده‌اند.

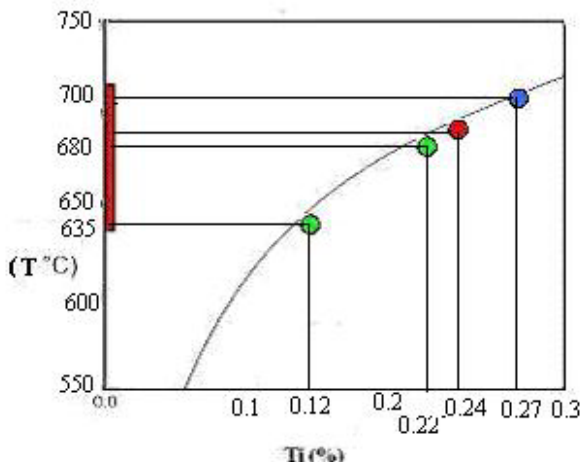
تعیین عمق تشکیل آمفیبیول‌ها

با در نظر گرفتن گرادیان فشار از سطح به عمق که در پوسته معادل ۰/۲۸ بار بر کیلومتر و در مانتوی فوقانی حدود ۰/۳۳ بار بر کیلومتر است [۱۸]، پس از ترسیم فشارهای محاسبه شده‌ی برای تشکیل آمفیبیول‌ها روی نمودار فشار - عمق، معلوم شد که مجموعه سنگ‌های آتشفشنانی و نیمه عمیق آمفیبیول‌دار منطقه شمال شهرکرد، از اعمق ۲۰ تا ۲۵ کیلومتر ریشه گرفته‌اند به گونه‌ای که سنگ‌های نیمه عمیق دیوریتی در عمق آندزیتی در عمق ۲۰ و سنگ‌های نیمه عمیق دیوریتی در عمق در حدود ۲۳ کیلومتری تشکیل شده‌اند (شکل ۶). با توجه به این که عمق تشکیل بازالت‌های حاوی کلینوپیروکسن (اوژیت) و پلازیوکلاز (لابرادور) همزاد در این کمریند آتشفشنانی معادل ۴۰ تا ۴۵ کیلومتر محاسبه شده است [۱] ارقام بالا برای سنگ‌های حد بواسطه مطالعه شده منطقی به نظر می‌رسد.

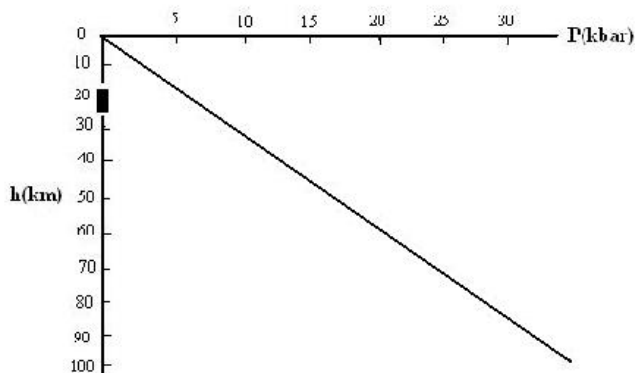
با این حال بسیاری از پژوهشگران معتقدند که تنها فشارسنج هورنبلنده نمی‌تواند فشار دقیق و واقعی تشکیل سنگ‌ها را تعیین کند و معمولاً لازم است تا روش‌های مکمل نیز به کار گرفته شوند [۱۲]. معادلات مورد استفاده برای تعیین فشار آمفیبیول‌ها در شرایط خاصی همسنجی شده‌اند. به عنوان مثال اشمیت (۱۹۹۲) معادله‌ی خود را در دمای در حدود 675°C و جانسن و رادرفورد (۱۹۸۹) نیز در 760°C مدل خود را همسنجی کردند. به این دلیل می‌توان پس از محاسبه دمای تشکیل کانی آمفیبیول به روش‌های دیگر و یا با استفاده از رابطه‌ی عمق - دما، فشار محاسبه شده را تصحیح کرد. به عنوان مثال آندرسون رابطه‌ی اشمیت را به صورت زیر تصحیح کرد [۷].

$$P(\pm 0.6\text{kbar}) = 4.76AI - 3.01 - \left[T_{(C)}^0 - 675 \right] / 85 \times \\ \left\{ 0.530AI + 0.005294 \left[T_{(C)}^0 - 675 \right] \right\}$$

به عبارتی چنانچه میزان آلومینیم کل به طور متوسط ۲ در نظر گرفته شود و بالاترین دمای محاسبه شده نیز بنا بر آنچه در بخش پیشین بیان شد ۷۱۵ درجه سانتیگراد باشد، فشار تصحیح شده معادل ۸/۵ کیلوبار است. بنابراین با این دیدگاه فشارهای محاسبه شده به روش‌های تجربی پیش گفته تا حدود ۱ کیلوبار کم تر از مقادیر واقعی است که تأثیر چندانی در محاسبه‌ی دما و عمق تشکیل آمفیبیول‌ها ندارد. در هر صورت در تمام شیوه‌های تجربی همخوانی مشتبی بین دما و فشار محاسبه شده با فشارسنج آلومینیم در هورنبلنده بددست آمده است [۱۲، ۱۳]. گستره‌ی تغییرات فشار از ۱/۳ تا ۲ کیلوبار بر ۱۰۰ درجه سانتیگراد است. به عبارتی به ازای افزایش دما به اندازه‌ی 100°C ، فشار محاسبه شده باید به اندازه‌ی ۱/۳ تا ۲ کیلوبار همسنجی شود. براین اساس پژوهشگران مختلف بر این نکته اتفاق نظر دارند که از همه آمفیبیول‌ها به خاطر حساسیت زیاد به تغییرات دما نمی‌توان به عنوان فشارسنج استفاده کرد و باید آمفیبیول‌هایی را انتخاب کرد که نسبت $\text{Fe}_t / (\text{Fe}_t + \text{Mg})$ آن‌ها بین ۰/۴ تا ۰/۶۵ و $(\text{Fe}^{2+} + \text{Fe}^{3+}) < 0.2 < \text{Fe}^{2+}$ باشد [۱۴]. در آمفیبیول‌های مورد مطالعه در این کار پژوهشی مقدار پارامتر اول بین ۰/۳۱۸ تا ۰/۴۳۶ تا ۰/۴۳۶ تغییر می‌کند. این در حالی



شکل ۵ نمودار ($\% \text{Ti}$) در برابر دما ($T^{\circ}\text{C}$) در کلینو آمفیبول ها، ستون پررنگ نشان دهنده دمای تشکیل آمفیبول های شمال شهرکرد می باشد.
(آبی: دولریت، قرمز: دیوریت، سبز: آندزیت).



شکل ۶ عمق تشکیل آمفیبول های موجود در سنگ های آتشفسانی - نیمه عمیق شمال شهرکرد بر روی نمودار فشار- عمق. مستطیل تیره نشانگر محدوده عمقی تشکیل آمفیبول ها (۱۷ تا ۲۵ کیلومتر). نمودار براساس داده های جدول ۳ ترسیم شده است.

پژوهش های پیشین نشان داده است که مجموعه های آتشفسانی خطی مزو زوییک [امیانه زیستی] در کمریند کوهزاد زاگرس که زون های زمین ساختی زاگرس مرتفع، زاگرس چین خورده ساده و زون سنندج- سیرجان را در بر می گیرد، در واقع حاصل ماقماتیسم خطی اهکی- قلیایی به سن ژوراسیک بوده است که به صورت جزایر قوسی مجزا بر روی پی سنگ پر کامبرین در حاشیه های جنوبی اوراسیا به ویژه در زون ساختاری سنندج- سیرجان قرار گرفته اند [۲۱] برخی پژوهش- ها الگوی ساختاری سنندج - سیرجان را از نوع چین های بسته و هم راستا در مقیاس کیلومتری می دانند [۲۲]. به علاوه مدلی برای فروزانش دو مرحله ای در کمریند کوهزادی آناتولی ترکیه و نواحی مجاور (خرده قاره ای ایران) مطرح شده است [۲۳، ۲۴] در ترکیه اولین مرحله فروزانش در تریاس پسین رخ داد و باعث

تعیین محیط تکتونوماگمایی Al^{IV} به عنوان مرز و جداش محیط تکتونوماگمایی آمفیبول ها در نظر گرفته شده است به گونه ای که ارقام بالاتر از $1/5$ مربوط به آمفیبول هایی است که در فشارهای در حدود 10 کیلوبار و در محیط های زمین ساختی جزائر قوسی شکل می- گیرند و ارقام پائین تر از $1/5$ معرف آمفیبول های تشکیل شده در حاشیه ای فعال قاره ای در فشارهای کمتر از 5 کیلوبارند Al^{IV} [۱۹، ۲۰]. براین اساس و با توجه به مقادیر بالاتر (جدول ۱) تقریباً تمام آمفیبول های شمال شهرکرد مقادیر $1/5$ را به خود اختصاص داده و در قلمرو جزائر قوسی قرار می گیرند که کاملاً با نتایج زمین دما سنگی و نیز کانی شناسی (از جمله حضور اپیدوت ماقمایی) سازگار است [۱].

عمق در حدود ۴۵ کیلومتری تشکیل بازالت‌های همزاد این سنگ‌ها [۱]، زاویه فرورانش صفحه‌ی اقیانوسی فرورو (نئوتیس) کمتر از ۴۵ درجه برآورده شود که با فرورانش اول در ایده‌ی فرورانش دو مرحله‌ای پیش گفته همخوانی دارد.

برداشت

براساس نتایج این کار پژوهشی، آمفیبیول‌های موجود در سنگ‌های آذرین شمال شهرکرد در دماهی بین ۶۳۵ تا ۷۱۵ درجه سانتیگراد و فشاری معادل ۳/۵۲ تا ۷/۵ کیلوبار و عمقی بین ۱۷ تا ۲۵ کیلومتر تشکیل شده‌اند. به دلیل آن که امکان اندازه‌گیری مستقیم دما و فشار تشکیل سنگ‌های آمفیبیول‌دار به خاطر فقدان حضور زوج کانی‌های متعادل و بافت‌های دانه‌ای میسر نشد، با احتیاط می‌توان ارقام بالا را به عنوان شرایط ترمودینامیکی تشکیل سنگ‌های حدواسط منطقه در نظر گرفت. سنگ‌های مورد مطالعه غالباً ماهیت آهکی- قلیایی داشته و به صورت یک جزیره قوسی قدیمی به سن ژوراسیک میانی تا فوقانی روی پی سنگ اقیانوسی پرمو-تریاس جای گرفته است.

همخوانی ارقام فشار و دمای بدست آمده برای آمفیبیول‌ها در سنگ‌های آتشفشاری حدواسط و سنگ‌های نیمه عمیق دیوریتی می‌تواند تاییدی بر همخوانی و همزمانی تشکیل این سنگ‌ها باشد. به علاوه این نتایج بر امکان استفاده از روش‌های تجربی مورد اشاره در این مقاله برای زمین دماسنجدی بر اساس آلومینیم در هورنبلند در انواع سنگ‌های آتشفشاری حدواسط و نیمه عمیق تاکید می‌کند.

با مقایسه‌ی اعداد به دست آمده برای فشار و دمای تشکیل آمفیبیول‌ها در مجموعه سنگ‌های یاد شده و نیز با در نظر گرفتن شرایط همسنجی فرمول‌های تجربی به کار رفته، در سنگ‌های آتشفشاری حدواسط با بافت موزائیکی و دارای یک فاز فنوکریست و زمینه‌ی ریز بلورین کوارتز فلدسپاتی، روش جانسن - رادرفورد و برای سنگ‌های نیمه عمیق روش‌های اشمیت، هامااسترام و هالیستر با تاکید بر ترکیب حاشیه بلورهای درشت مافیک نتایج مطلوب‌تری ارائه می‌دهند. بر اساس نتایج این کار پژوهشی و استناد به پژوهش‌های صورت گرفته‌ی دیگر در منطقه‌ی مورد بررسی، سنگ‌های آتشفشاری حدواسط و توده‌های نیمه عمیق وابسته در یک محیط تکتونوماگمایی برخورده از نوع فرورانش تشکیل شده و ویژگی‌های جزابر قوسی را نشان می‌دهند. این برخورد و فرورانش

فرورانش صفحه اقیانوسی عربی به زیر صفحه اقیانوسی نئوتیس شده و دومین مرحله فرورانش نیز در کرتاسه آغازین باعث فرورانش صفحه نئوتیس به زیر نواحی مشابه تاروس ۱ همچون خرده قاره ایران شده است. حاصل فرورانش صفحه‌ی اول ایجاد جزائر قوسی همراه با افیولیت در پیشانی آن‌ها و فرورانش دوم باعث پیدایش کمان ماقمایی آهکی- قلیایی بر روی پوسته‌ی قاره‌ای شده است [۲۳].

در خرده قاره‌ی ایران، کف اقیانوس نئوتیس با زاویه‌ای ملایم به زیر زون سنندج - سیرجان رانده شده و کف پوسته‌ی اقیانوسی نایین- بافت در پشت زون سنندج - سیرجان به زیر خرده قاره‌ی ایران مرکزی فرورانش کرده است [۲۴]. در این راستا دیبازها، آندزیتها و پیروکسن آندزیتها ناحیه‌ی هد سرد به سن ژوراسیک پسین - کرتاسه آغازین و سنگ‌های دگرگون ژوراسیک پسین به سمت باخته سیرجان و دگرگونی فشار کم تا متوسط همراه با فعالیت ماقمایی در راستای زون سنندج- سیرجان نشان دهنده‌ی آن است که فرورانش نئوتیس زیر زون سنندج - سیرجان (فرورانش ۱) در خلال ژوراسیک پایانی - کرتاسه آغازین تداوم داشته است. شبیه صفحه بنیوف در زون فرورانش اول کمتر از ۴۵° و در زون دوم فراتر از ۸۰° در نظر گرفته شده است از سوی دیگر سن سنگ‌های مورد بررسی در این پژوهش، بر اساس روش ایزوتوپی $^{40}\text{Ar}/^{39}\text{Ar}$ روی آمفیبیول‌ها معادل ۱۴۹ تا ۱۶۹ میلیون سال و با طبقه‌های کالوین تا تیتونین از ژوراسیک میانی (دوگر) تا فوقانی (مالم) و حاصل فرورانش پوسته‌ی اقیانوسی نئوتیس به زیر پوسته حدواسط سنندج - سیرجان در تریاس میانی تا فوقانی و در امتداد گسل زاگرس همخوانی دارد [۱]. بدین ترتیب و با توجه به نتایج بررسی‌های اشاره شده در بالا و اثبات شباخت سنگ-های آتشفشاری منطقه به جزایر قوسی، می‌توان نوار سنگ‌های آتشفشاری همراه با سنگ‌های نیمه عمیق در شمال شهرکرد را یکی از جزایر قوسی قدیمی (ژوراسیک فوقانی) پیش بینی شده دانست [۲۱]، با این توضیح که قرارگیری آن روی پی سنگ پرکامبرین با توجه به سنین اندازه‌گیری شده، با تردید جدی روپرست.

از طرف دیگر با توجه به فاصله‌ی در حدود ۳۵ کیلومتری نوار سنگ‌های آتشفشاری مورد بررسی در شمال شهرکرد و عمق در حدود ۲۵ کیلومتری تشکیل سنگ‌های آندزیتی و نیز

- [12] Ghent E. D., Nicholls j., Simony, P. S., Sevigny J H., Stout M. Z., "Hornblende barometry of the Nelson batholith, southeastern British Columbia: Tectonic implications", Canadian Journal of Earth Sciences 28(1991) 1982-1991.
- [13] Vynhal C. R., McSween H. Y., Speer J. A., "Hornblende chemistry in southern Appalachian granitoids: Implications for aluminium hornblende thermobarometry and magmatic epidote stability", American Mineralogist 76(1991) 176-188.
- [14] Miyashiro A., "Volcanic rock series in island arcs and active continental margins", American Journal of Sciences 247(1974)321-355.
- [15] Kuno H., "Petrology of Hakone volcano and the adjacent areas", Japan. Geological Society American Bulltein 61(1950)957-1020.
- [16] Raase P., "Al and Ti contents of hornblende, indicators of pressure and temperature of regional metamorphism", Contributions to mineralogy and Petrology 45(1974) 231- 236.
- [17] Ernest, W. G., "Paragenesis and thermobarometry of Ca-amphiboles in the Barcroft granodioritic pluton, central White Mountains, eastern California", American Mineralogists, 87(2002) 478-490.
- [18] Hall A., "Igneous petrology" (1987) Longman, London, 573 P.
- [19] Ghent, E. D., j. Nicholls, P. S.Simony, J. H. Sevigny, M. Z. Stout, "Hornblende barometry of the Nelson batholith, southeastern British Columbia: Tectonic implications", Canadian Journal of Earth Sciences, 28(1991) 1982 - 1991.
- [20] Vynhal C. R., H. Y. McSween, J. A. Speer, "Hornblende chemistry in southern Appalachian granitoides: Implications for aluminium hornblende thermobarometry and magmatic epidote stability", American Mineralogists, 76(1991) 176 - 188.
- [21] Kazmin V.C., "Volcanic belts as markers of the Mesozoic – Caenozoic active margin of Eurasia", Tectonophysics 123(1986) 123 – 152.
- [22] Mohajjel, M. and C.L. Fergusson, "Dexteral transpression in Late Cretaceous continental collision, Sanandaj - Sirjan zone, Western Iran", Journal of Structural Geology, 22 (8) (2000) 1125 - 1139.
- [23] Parlak, O., V. Hock, H. Kozlu, M. Dlaloye, "Oceanic crust generation in an island arc tectonic setting, SE Anatolian orogenic belt (Turkey)", Geological Magazine, 141 (5) (2004) 583 - 603.
- [24] Ghasemi A., C.J. Talbot, "A new tectonic scenario for the Sanandaj - Sirjan zone (Iran)", Journal of Asian Earth Sciences, 26 (6) (2006) 683-693.

متعاقب آن، احتمالاً در تریاس فوقانی و بین پوسته‌ی اقیانوسی نئوتیس و پوسته‌ی حدود سندج - سیرجان رخداده است.

مراجع

- [1] امامی س. ن، "بررسی‌های پترولوزیکی با تاکید بر پهنه‌های دگرسانی و ارزیابی آثارزیست محیطی آن‌ها در سرزمین آتشفشاری شمال شهرکرد"، پایان‌نامه دکتری پترولوزی (۱۳۸۷) دانشگاه اصفهان، ۲۶۵ ص.
- [2] Leake B. E., IMA Commission, "Nomenclature of amphiboles of the subcommittee on amphiboles of the international mineralogical association commission on new minerals and mineral names", European Journal of mineralogy 9(1997) 623-651.
- [3] Hammarstrom Jane M., E-AN Zen., "Aluminum in hornblende: An empirical igneous geobarometer", American Mineralogist 71(1986) 1297-1313.
- [4] Schmidt M. W., "Amphibole composition in tonalite as a function of pressure: an experimental calibration of the Al- in hornblende barometer", Contributions to mineralogy and Petrology 110(1992)304 -310.
- [5] Johnson M. C., Malcolm J. Rutherford, "Experimental calibration of the aluminum- in-hornblende geobarometer with application to Long Valley caldera (California) volcanic rocks", Geology 17(1989) 837- 841.
- [6] Hollister L. S., et al., "Confirmation of the empirical correlation of Al in hornblende with pressure of solidification of calcalkaline plutons", American Mineralogists 72(1987) 231- 239.
- [7] Anderson J. Lawford., "The effects of temperature and fO_2 on the Al- inhornblende barometer", American Mineralogists 80(1995) 549-559.
- [8] Wones D. R., Gilbert M. C., "Amphiboles in the igneous environment", Mineralogical Society of America Reviews in Mineralogy, 9(1982) 355-390.
- [9] Cawthorn P.C., G. Davies, "Amphibole fractionation in calcalkaline magma genesis", American journal of sciences, 276 (1982) 309 – 329.
- [10] Helz R. T., "Phase relations of basalts in their melting range at $P_{H2O} = 5kb$ as a function of oxygen fugacity", Journal of Petrology 14(1973) 249-302.
- [11] Helz R. T., "Phase relations of basalts in their melting range at $P_{H2O} = 5kb$. PartII. Melt compositions", Journal of Petrology 17(1976) 139-193.